

# Численно-аналитическое исследование характера магнитоупругих величин в окрестности угловой точки составного ферромагнитного тела

Г. Е. Багдасарян, Д. Д. Асанян, Д. А. Саакян

Ереванский государственный университет

На основе линейных уравнений и поверхностных условий теории магнитоупругости магнитомягкого ферромагнитного тела [1-3] изучено поведение магнитоупругих напряжений и магнитного поля в окрестности угловой точки составного призматического тела с поперечным сечением в виде кусочно-однородного клина. Построено местное решение сформулированной краевой задачи и на этой основе в пространстве параметров задачи получено уравнение предельной поверхности, являющейся границей области нулевого напряженного состояния края поверхности контакта. Предложенным численным методом (при фиксированных значениях параметров задачи, характеризующих магнитоупругие свойства материалов составного клина и напряженность внешнего магнитного поля) в плоскости  $(\theta_1, \theta_2)$  (фиг. 1) построены кривые, отделяющие области нулевого напряженного состояния от областей сильной концентрации магнитоупругих напряжений и индуцированного магнитного поля. Показано, что присутствие магнитного поля и взаимодействие механических и магнитных полей могут существенно изменить размеры областей нулевого напряженного состояния и дают возможность регулировать поведение магнитоупругих величин вблизи края поверхности контакта составного тела.

Аналогичные исследования в случае отсутствия магнитного поля, а также в задачах электроупругости проведены в работах [4-8].

Рассмотрена плоская задача магнитоупругости для изотропного составного призматического тела с поперечным сечением в виде кусочно-однородного клина, изготовленного из магнитомягких ферромагнитных материалов с различными магнитоупругими свойствами. Предположено, что рассматриваемое тело относится к цилиндрическим координатам  $z, r, \theta$  так, что начало полярной системы координат  $(r, \theta)$  помещено в угловой точке контура и отсчет угла  $\theta$  производится от линии раздела (фиг. 1). Для определенности рассмотрен случай призматического тела, состоящего из двух различных призматических тел, соединенных (спаянных) между собой по общим частям боковых поверхностей, а плоскость раздела областей, соответствующих различным материалам, проходит через угловую точку контура. Поперечное сечение тела состоит из двух клиновидных областей  $\Omega_1$  и  $\Omega_2$ , имеющих общую вершину ( $\Omega_1: 0 < r < \infty, 0 < \theta < \theta_1$ ;  $\Omega_2: 0 < r < \infty, -\theta_2 < \theta < \infty$ ). Тело находится во внешнем стационарном магнитном поле с заданным вектором напряженности  $\vec{H}_0(0, H_\theta, 0)$ , электромагнитные свойства среды, окружающей тело, эквивалентны свойствам вакуума.

Обозначим через  $u_r^{(i)}, u_\theta^{(i)}$  ( $i=1,2$ ), проекции вектора перемещения  $\vec{U}^{(i)}$  точек ферромагнитного тела по направлениям  $r$  и  $\theta$ , и через  $\varphi^{(i)}$  — магнитный потенциал

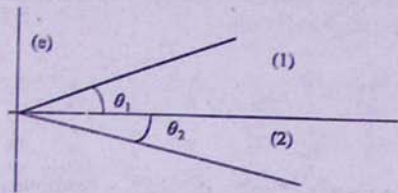


Рис. 1.

индуцированного в теле магнитного поля  $\vec{h}^{(ij)} = \operatorname{grad}\phi^{(ij)}$ . Тогда, с помощью основных уравнений и соотношений магнитоупругости диэлектрического магнитомягкого ферромагнитного тела [1,2], для определения указанных величин получается следующая система дифференциальных уравнений, поверхностные условия и условия контакта:

Уравнения в областях  $\Omega_i$  имеют вид

$$\nabla^2 u_r^{(ij)} + k_i \frac{\partial}{\partial r} \left( \frac{\partial u_r^{(ij)}}{\partial r} + \frac{u_r^{(ij)}}{r} + \frac{1}{r} \frac{\partial u_\theta^{(ij)}}{\partial \theta} \right) + \lambda^{(ij)} \cdot H_\theta^{(ij)} \cdot \left( \frac{1}{r} \frac{\partial^2 \phi^{(ij)}}{\partial \theta \partial r} - \frac{1}{r^2} \frac{\partial \phi^{(ij)}}{\partial r} \right) = 0, \quad (1)$$

$$\nabla^2 u_\theta^{(ij)} + k_i \frac{1}{r} \frac{\partial}{\partial \theta} \left( \frac{\partial u_r^{(ij)}}{\partial r} + \frac{u_r^{(ij)}}{r} + \frac{1}{r} \frac{\partial u_\theta^{(ij)}}{\partial \theta} \right) - \lambda^{(ij)} H_\theta^{(ij)} \frac{\partial^2 \phi^{(ij)}}{\partial r^2} = 0, \quad (2)$$

$$\nabla^2 \phi^{(ij)} = 0, i=1,2 \quad (3)$$

$$\nabla^2 = \frac{\partial^2}{\partial r^2} + \frac{1}{r} \frac{\partial}{\partial r} + \frac{1}{r^2} \frac{\partial^2}{\partial \theta^2}, \quad \lambda^{(ij)} = \frac{2\mu_0 Z_i}{\mu_i}, \quad k_i = \frac{1}{1-2\nu_i}, \quad Z_i = \mu_n - 1, \quad i=1,2$$

где  $\nabla^2$  - оператор Лапласа в полярной системе координат,  $\mu_i$  и  $\nu_i$  упругие постоянные,  $\mu_n$  - магнитное восприимчивость сред,  $\mu_0$  - универсальная магнитная постоянная ( $\mu_0 = 4\pi \cdot 10^{-7} \text{ Н/А}^2$ ).

Уравнение во внешней области (пространство вне тела) имеет вид

$$\nabla^2 \phi^{(e)} = 0 \quad (4)$$

где  $\phi^{(e)}$  - магнитный потенциал вакуума ( $\operatorname{grad}\phi^{(e)} = \vec{h}^{(e)}$ ). Индекс (e) здесь и в дальнейшем обозначает принадлежность к внешней области;

Границочные условия при  $\theta = \theta_1$  и  $\theta = -\theta_2$  имеют вид

$$\begin{aligned} t_{r\theta}^{(ij)} + t_{r\theta}^{m(ij)} &= t_{r\theta}^{m(e)}, \\ t_{\theta\theta}^{(ij)} + t_{\theta\theta}^{m(ij)} &= t_{\theta\theta}^{m(e)}, \\ \phi^{(ij)} - \phi^{(e)} + Z_i u_\theta^{(ij)} &= 0, \\ \mu_n \frac{\partial \phi^{(ij)}}{\partial \theta} - \frac{\partial \phi^{(e)}}{\partial \theta} &= 0, \quad i=1,2 \end{aligned} \quad (5)$$

где принято, что граничные плоскости  $\theta = \theta_1$  и  $\theta = -\theta_2$  свободны от напряжений;

Условия на линии контакта ( $\theta = 0$ ) имеют вид

$$\vec{U}^{(i)} = \vec{U}^{(2)},$$

$$\begin{aligned}
 t_{r\theta}^{(1)} + t_{r\theta}^{m(1)} &= t_{r\theta}^{(2)} + t_{r\theta}^{m(2)}, \\
 t_{\theta\theta}^{(1)} + t_{\theta\theta}^{m(1)} &= t_{\theta\theta}^{(2)} + t_{\theta\theta}^{m(2)}, \\
 \varphi^{(1)} - \varphi^{(2)} + \left( \frac{\chi_1}{\mu_{r1}} - \frac{\chi_2}{\mu_{r2}} \right) u_\theta^{(1)} &= 0, \\
 \mu_{r1} \frac{\partial \varphi^{(1)}}{\partial \theta} - \mu_{r2} \frac{\partial \varphi^{(2)}}{\partial \theta} &= 0.
 \end{aligned} \tag{6}$$

В (5), (6)  $t_{r\theta}^{(1)}, t_{\theta\theta}^{(1)}$  - магнитоупругие напряжения;  $t_{r\theta}^{m(1)}, t_{\theta\theta}^{m(1)}, t_{r\theta}^{m(e)}, t_{\theta\theta}^{m(e)}$  - компоненты максвелловских тензоров напряжений соответственно в среде и в вакууме. Эти величины выражаются через  $\bar{U}^{(1)}, \varphi^{(1)}, \varphi^{(e)}$  следующим образом [1, 2]:

$$\begin{aligned}
 t_{r\theta}^{(1)} &= \sigma_{r\theta}^{(1)} + \delta_1^{(1)} h_r^{(1)}, \quad t_{\theta\theta}^{(1)} = \sigma_{\theta\theta}^{(1)} + 2\delta_1^{(1)} h_\theta^{(1)}, \quad \delta_1^{(1)} = \mu_0 \chi_1 H_\theta^{(1)}, \\
 t_{r\theta}^{m(1)} &= \mu_0 \mu_n H_\theta^{(1)} h_r^{(1)}, \quad t_{\theta\theta}^{m(1)} = \mu_0 \frac{2\mu_n - 1}{2} \left( H_\theta^{(1)} \right)^2 + \mu_0 (2\mu_n - 1) H_\theta^{(1)} h_\theta^{(1)}. \\
 \bar{h}^{(1)} &= \operatorname{grad} \varphi^{(1)}, \quad \bar{h}^{(e)} = \operatorname{grad} \varphi^{(e)}, \\
 t_{r\theta}^{m(e)} &= \mu_0 H_\theta h_r^{(e)}, \quad t_{\theta\theta}^{m(e)} = \mu_0 \frac{H_\theta^2}{2} + \mu_0 H_\theta h_\theta^{(e)}, \\
 \sigma_{r\theta}^{(1)} &= \mu_1 \left[ \frac{1}{r} \frac{\partial u_r^{(1)}}{\partial \theta} + \frac{\partial u_\theta^{(1)}}{\partial r} - \frac{u_\theta^{(1)}}{r} \right], \\
 \sigma_{\theta\theta}^{(1)} &= \mu_1 \left[ (k_1 + 1) \left( \frac{1}{r} \frac{\partial u_\theta^{(1)}}{\partial \theta} + \frac{u_r^{(1)}}{r} \right) + (k_1 - 1) \frac{\partial u_r^{(1)}}{\partial r} \right].
 \end{aligned} \tag{7}$$

В каждой из клиновидных областей  $\Omega_i$  и во внешней области поля перемещений магнитные потенциалы, следуя работам [4-8], ищем в виде

$$\begin{aligned}
 u_r^{(i)}(r, \theta) &= r^\alpha u^{(i)}(\theta), \quad u_\theta^{(i)} = r^\alpha v^{(i)}(\theta), \\
 \varphi^{(i)}(r, \theta) &= H_\theta r^\alpha \psi^{(i)}(\theta), \quad \varphi^{(e)}(r, \theta) = H_\theta r^\alpha \psi^{(e)}(\theta),
 \end{aligned} \tag{8}$$

где  $u^{(i)}(\theta)$ ,  $v^{(i)}(\theta)$ ,  $\psi^{(i)}$ ,  $\psi^{(e)}$  - неизвестные функции,  $i = 1, 2$ ,  $\alpha$  - физический параметр.

Решая уравнения (1) - (4) при помощи представления (8) для указанных неизвестных функций, получаем следующие выражения:

$$\begin{aligned}
 u^{(1)}(\theta) &= A_1 \sin(\alpha - 1)\theta + B_1 \cos(\alpha - 1)\theta + C_1 \sin(\alpha + 1)\theta + D_1 \cos(\alpha + 1)\theta + \gamma_1 E_1 \cos \alpha \theta + \gamma_1 F_1 \sin \alpha \theta, \\
 v^{(1)}(\theta) &= \gamma_{21} A_1 \cos(\alpha - 1)\theta - \gamma_{21} B_1 \sin(\alpha - 1)\theta + C_1 \cos(\alpha + 1)\theta - D_1 \sin(\alpha + 1)\theta + \gamma_{11} E_1 \sin \alpha \theta + \gamma_{11} F_1 \cos \alpha \theta, \\
 \psi^{(1)}(\theta) &= E_1 \sin \alpha \theta + F_1 \cos \alpha \theta, \quad \psi^{(e)}(\theta) = E_e \sin \alpha \theta + F_e \cos \alpha \theta, \quad i = 1, 2
 \end{aligned} \tag{9}$$

где

$$\gamma_1 = \frac{\lambda_{01} \alpha (\alpha - 1)(k_1 \alpha + 2\alpha + 1)}{(k_1 + 1)(1 - 4\alpha^2)}, \quad \gamma_{11} = -\frac{\lambda_{01} \alpha (\alpha - 1)(k_1 \alpha + 2\alpha + k_1 + 1)}{(k_1 + 1)(1 - 4\alpha^2)},$$

$$\gamma_{21} = \frac{k_1 \alpha + k_1 + 2}{k_1 \alpha - k_1 - 2}, \quad \lambda_{01} = \lambda_1 H_\theta^2 = \frac{2\mu_0 \chi_1}{\mu_1} H_\theta^2, \quad i = 1, 2.$$

$A_i$ ,  $B_i$ ,  $C_i$ ,  $D_i$ ,  $E_i$ ,  $F_i$  ( $i = 1, 2$ ),  $E_e$ ,  $F_e$  - неизвестные постоянные.

Удовлетворяя граничным и контактным условиям (условия (5) и (6)) и исключая из рассмотрения частные решения неоднородной задачи для определения неизвестных постоянных, получаем однородную систему линейных алгебраических

уравнений. Из условия существования нетривиального решения указанной алгебраической системы получаем следующее уравнение относительно а:

$$\Delta(a, b_c^2, \theta_1, \theta_2, \mu_1, \mu_2, \mu_{r1}, \mu_{r2}, \nu_1, \nu_2) = \text{Det}Q = 0 \quad (10)$$

где

$$Q = \begin{vmatrix} P_1^{(1)} & 0 & 1 & 0 & 0 & P_2^{(1)} & -\mu P_3^{(2)} & 0 & -\mu & 0 & 0 & -\mu P_1^{(2)} & 0 & 0 & 0 \\ 0 & P_2^{(1)} & 0 & 1 & -P_1^{(1)} & 0 & 0 & -\mu P_3^{(2)} & 0 & -\mu & \mu P_4^{(2)} & 0 & 0 & 0 \\ 0 & 1 & 0 & 1 & P_3^{(1)} & 0 & 0 & -1 & 0 & -1 & -P_5^{(2)} & 0 & 0 & 0 \\ P_4^{(1)} & 0 & 1 & 0 & 0 & -P_1^{(1)} & -P_2^{(2)} & 0 & -1 & 0 & 0 & -P_6^{(2)} & 0 & 0 & 0 \\ P_1^{(1)}C_1^- & -P_1^{(1)}S_1^- & C_1^+ & -S_1^+ & P_2^{(1)}S_1^- & P_2^{(1)}C_1^+ & 0 & 0 & 0 & 0 & 0 & 0 & -A_2^{(1)}S_1 & -A_2^{(1)}C_1 & 0 \\ P_2^{(1)}S_1^- & P_2^{(1)}C_1^- & S_1^+ & C_1^+ & -P_3^{(1)}C_1^- & P_3^{(1)}S_1^+ & 0 & 0 & 0 & 0 & 0 & 0 & A_1^{(1)}C_1 & -A_1^{(1)}S_1 & 0 \\ 0 & 0 & 0 & 0 & 0 & 0 & P_1^{(2)}C_1^- & P_1^{(2)}S_2^- & C_2^+ & S_2^+ & -P_3^{(2)}S_2 & P_3^{(2)}C_2 & A_2^{(2)}S_2 & -A_2^{(2)}C_2 & 0 \\ 0 & 0 & 0 & 0 & 0 & 0 & -P_1^{(2)}S_2^- & P_1^{(2)}C_2^- & -S_2^+ & C_2^+ & -P_4^{(2)}C_2 & -P_4^{(2)}S_1 & A_2^{(2)}S_2 & -A_2^{(2)}C_2 & 0 \\ R_1^{(1)} & 0 & R_2 & 0 & 0 & R_3^{(1)} & 0 & 0 & 0 & 0 & 0 & 0 & -1 & 0 & 0 & 0 \\ R_1^{(1)}C_1^- & -R_1^{(1)}S_1^- & R_2^{(1)}C_1^+ & -R_2^{(1)}S_1^+ & R_3^{(1)}S_1^- & R_3^{(1)}C_1^+ & 0 & 0 & 0 & 0 & 0 & 0 & 0 & -S_1 & -C_1 \\ 0 & 0 & 0 & 0 & C_1 & S_1 & 0 & 0 & 0 & 0 & 0 & 0 & 0 & -C_1 & -S_1 & 0 \\ 0 & 0 & 0 & 0 & 0 & 0 & P_1^{(2)}C_2^- & P_1^{(2)}S_2^- & R_2^{(2)}C_2^+ & R_2^{(2)}S_2^+ & -P_3^{(2)}S_2 & P_3^{(2)}C_2 & S_2 & -C_2 & 0 \\ 0 & 0 & 0 & 0 & 0 & 0 & 0 & 0 & 0 & 0 & 0 & C_2 & -S_2 & -C_2 & S_2 & 0 \end{vmatrix}$$

где

$$S_i^\pm = \sin(\alpha \pm 1)\theta_i, \quad S_i = \sin \alpha \theta_i, \quad C_i^\pm = \cos(\alpha \pm 1)\theta_i, \quad C_i = \cos \alpha \theta_i,$$

$$P_1^{(1)ij} = \frac{k_i(\alpha-1)}{k_i\alpha - k_i - 2}, \quad P_2^{(1)ij} = \lambda_1^{(ij)} \frac{(k_i+1)(1-4\alpha^2) + 4\chi_i\alpha^2(1-k_i-2\alpha)}{2(k_i+1)(1-4\alpha^2)},$$

$$P_3^{(1)ij} = \frac{k_i(\alpha+1)}{k_i\alpha - k_i - 2}, \quad P_4^{(1)ij} = \lambda_1^{(ij)} \frac{(k_i+1)(1-4\alpha^2) + 4\chi_i\alpha(\alpha+1)(1-k_i-2\alpha)}{2(k_i+1)(1-4\alpha^2)},$$

$$P_5^{(1)ij} = \frac{k_i\alpha + k_i + 2}{k_i\alpha - k_i - 2}, \quad P_6^{(1)ij} = \lambda_1^{(ij)} \frac{2\chi_i\alpha(2\alpha^2 - k_i\alpha - k_i - 2)}{(k_i+1)(1-4\alpha^2)},$$

$$P_7^{(1)ij} = \lambda_1^{(ij)} \frac{2\chi_i\alpha(2\alpha^2 - k_i\alpha - 3\alpha - k_i - 1)}{(k_i+1)(1-4\alpha^2)},$$

$$R_1^{(1)ij} = \frac{\chi_i P_3^{(1)ij}}{\mu_n}, \quad R_2^{(1)ij} = \frac{\chi_i}{\mu_{ri}}, \quad R_3^{(1)ij} = \frac{1 - \chi_i P_7^{(1)ij}}{\mu_n},$$

$$R_4^{(1)ij} = (1 - \mu_{rr}) P_5^{(1)ij}, \quad R_5^{(1)ij} = (1 - \mu_{rr}), \quad R_6^{(1)ij} = \mu_{rr} - (1 - \mu_{rr}) P_7^{(1)ij}.$$

$$\mu = \frac{\mu_2}{\mu_1}, \quad \mu_{rr} = \frac{\mu_{r2}}{\mu_{r1}}, \quad b_c^2 = \frac{B_0^2}{\mu_0 \mu_2},$$

$$\lambda_1^{(1)} = \mu^{(2-i)} b_c^2 \frac{1}{\mu_n^2}, \quad \lambda_2^{(1)} = \mu^{(2-i)} \frac{b_c^2}{2}, \quad i = 1, 2$$

Параметры, входящие в уравнение (10), меняются в следующих интервалах:

$$0 \leq \theta_i \leq 2\pi, \quad 0 < \mu_i < \infty, \quad 1 \leq \mu_n \leq 10^4, \quad 0 \leq \nu_i < 0.5, \quad i = 1, 2,$$

$$0 \leq b_c^2 \leq 1, \quad \theta_1 + \theta_2 \leq 2\pi \quad (11)$$

В частном случае, когда внешнее магнитное поле отсутствует ( $b_c^2 = 0$ ), уравнение (10) распадает на два независимых уравнения

$$\Delta_{0y} = 0, \quad \Delta_{0m} = 0.$$

Первое из этих уравнений получено в работе [4] при исследовании характера упругих напряжений вблизи угловой точки контура составного тела, а второе - в работе [9] при исследовании поведения магнитных полей у вершины кусочно-однородного ферромагнитного клина.

Как видно из (7) и (8), все компоненты магнитоупругих напряжений и магнитного поля вблизи угловой точки контура представляются в виде

$$t = r^{\alpha, -1} R(r, \theta), \quad (12)$$

где  $R(r, \theta)$  - ограниченная и вообще не стремящаяся к нулю при  $r \rightarrow 0$  функция, а  $\alpha$  - действительная часть корня  $\alpha$  уравнения (10). Следовательно, характер магнитоупругого состояния около края поверхности контакта определяется величиной действительной части корня  $\alpha = \alpha_r + i\alpha_i$ . Если  $\alpha_r > 1$ , то в малой окрестности краевой точки поверхности контакта имеем нулевое напряженное состояние. Если же  $\alpha_r < 1$ , то при приближении к угловой точке магнитоупругие напряжения неограниченно возрастают (сильная концентрация напряжений). В случае  $\alpha_r = 1$ , напряжения на краях поверхности контакта конечны и в целом отличны от нуля.

Таким образом, определение характера магнитоупругого напряженного состояния около угловой точки составного ферромагнитного тела, приводится к нахождению корня, имеющего наименьшую положительную действительную часть  $\alpha = \alpha_r + i\alpha_i$  трансцендентного уравнения (10).

Считается, что уравнение (10), независимо от значений величин  $b_c^2, \theta_1, v_1, \mu_1, \mu_n$  ( $i = 1, 2$ ) из области их изменения (11), имеет только один действительный корень, заключенный в пределах  $0 < \alpha \leq 1$  ( $\alpha < 0$  не имеет смысла, так как не удовлетворяются энергетические условия [6]). Тогда, переходя к пределу в (10) при  $\alpha = \alpha_r + i\alpha_i$  в девятимерном пространстве параметров получаем следующее уравнение предельной поверхности, являющейся границей области нулевого напряженного состояния края поверхности контакта.

$$\text{Def } Q^* = 0, \quad (13)$$

где

$$Q^* = \begin{vmatrix} 0 & 0 & 1 & 0 & 0 & G_1^{(1)} & -\mu G_1^{(2)} & 0 & -\mu & 0 & 0 & -\mu G_1^{(3)} & 0 & 0 \\ 0 & G_1^{(1)} & 0 & 1 & -G_1^{(1)} & 0 & 0 & -\mu G_1^{(2)} & 0 & -\mu & \mu G_1^{(3)} & 0 & 0 & 0 & 0 \\ 0 & 1 & 0 & 1 & G_1^{(1)} & 0 & 0 & -1 & 0 & -1 & -G_1^{(2)} & 0 & 0 & 0 & 0 \\ G_1^{(1)} & 0 & 1 & 0 & 0 & -G_1^{(1)} & -G_1^{(2)} & 0 & -1 & 0 & 0 & -G_1^{(2)} & 0 & 0 & 0 & 0 \\ 0 & 0 & C_1^{(1)} & -S_1^{(1)} & G_2^{(1)} S_1^{(1)} & G_2^{(1)} C_1^{(1)} & 0 & 0 & 0 & 0 & 0 & 0 & -A_1^{(1)} S_1^{(1)} & -A_1^{(1)} C_1^{(1)} & 0 & 0 \\ 0 & 0 & G_1^{(1)} & S_1^{(1)} & C_1^{(1)} & -G_1^{(1)} C_1^{(1)} & G_1^{(1)} S_1^{(1)} & 0 & 0 & 0 & 0 & 0 & A_1^{(1)} C_1^{(1)} & -A_1^{(1)} S_1^{(1)} & 0 & 0 \\ 0 & 0 & 0 & 0 & 0 & 0 & 0 & 0 & 0 & 0 & 0 & 0 & 0 & 0 & A_2^{(1)} S_2^{(1)} & -A_2^{(1)} C_2^{(1)} \\ 0 & 0 & 0 & 0 & 0 & 0 & 0 & 0 & 0 & 0 & 0 & 0 & 0 & 0 & 0 & 0 & 0 \\ H_1^{(1)} & 0 & H_2 & 0 & 0 & H_1^{(1)} & 0 & 0 & 0 & 0 & 0 & 0 & -1 & 0 & 0 & 0 \\ 0 & 0 & 0 & 0 & 0 & 0 & 0 & 0 & 0 & 0 & 0 & 0 & 0 & 0 & 0 & 0 & 0 \\ H_1^{(1)} & 0 & H_1^{(1)} C_1^{(1)} & -H_1^{(1)} S_1^{(1)} & H_1^{(1)} S_1^{(1)} & H_1^{(1)} C_1^{(1)} & 0 & 0 & 0 & 0 & 0 & 0 & -S_1^{(1)} & -C_1^{(1)} & 0 & 0 \\ 0 & 0 & 0 & 0 & C_1^{(1)} & S_1^{(1)} & 0 & 0 & 0 & 0 & 0 & 0 & 0 & 0 & -C_1^{(1)} & -S_1^{(1)} & 0 \\ 0 & 0 & 0 & 0 & 0 & 0 & H_1^{(1)} & 0 & H_1^{(1)} C_1^{(1)} & H_1^{(1)} S_1^{(1)} & -H_1^{(1)} S_1^{(1)} & H_1^{(1)} C_1^{(1)} & S_1^{(1)} & -C_1^{(1)} & 0 & 0 \\ 0 & 0 & 0 & 0 & 0 & 0 & 0 & 0 & 0 & 0 & 0 & 0 & 0 & 0 & 0 & 0 & S_1^{(1)} \end{vmatrix}$$

где

$$S_1^{(k)} = \sin k\theta_1, \quad C_1^{(k)} = \cos k\theta_1,$$

$$G_2^{(1)} = \lambda_1^{(1)} \frac{3+4\chi L}{6}, \quad G_3^{(1)} = -k_1, \quad G_4^{(1)} = \lambda_1^{(1)} \frac{3+8\chi L}{6}.$$

$$\begin{aligned}
 G_3^{(ij)} &= -(k_i + 1), \quad G_6^{(ij)} = \lambda_1^{(ij)} \frac{4k_i \lambda_1}{3(k_i + 1)}, \quad G_7^{(ij)} = \lambda_1^{(ij)} \frac{4\lambda_1}{3}, \\
 H_1^{(ij)} &= \frac{\lambda_1 G_5^{(ij)}}{\mu_n}, \quad H_2^{(ij)} = \frac{\lambda_1}{\mu_n}, \quad H_3^{(ij)} = \frac{1 - \lambda_1 G_7^{(ij)}}{\mu_n}, \\
 H_4^{(ij)} &= (1 - \mu_n) G_5^{(ij)}, \quad H_5 = (1 - \mu_n), \quad H_6^{(ij)} = \mu_n - (1 - \mu_n) G_7^{(ij)}, \\
 \mu &= \frac{\mu_2}{\mu_1}, \quad \mu_n = \frac{\mu_{n2}}{\mu_{n1}}, \quad b_c^2 = \frac{B_0^2}{\mu_0 \mu_2}, \\
 \lambda_1^{(ij)} &= \mu^{(2-i)} b_c^2 \frac{1}{\mu_n^2}, \quad \lambda_2^{(ij)} = \mu^{(2-i)} \frac{b_c^2}{2}, \quad i = 1, 2
 \end{aligned}$$

Это уравнение имеет сложную структуру и содержит девять независимых параметров  $b_c^2, \theta_1, \nu_1, \mu_1, \mu_n, (i=1,2)$ . Зависимость искомого корня уравнения (13) от параметров задачи исследована на основе численного решения уравнения (13).

На персональном компьютере реализован алгоритм решения данной задачи. Для фиксированных значений (см. таблицу) переменных  $b_c^2, \nu_1, \mu_1, \mu_n, (i=1,2)$  из областей их определения уравнение (13) представляется в виде  $F(\theta_1, \theta_2) = 0$ . Далее для каждого  $\theta_2^{(ij)} = \frac{\pi}{12} i, (i = \overline{0, 12})$  получаются уравнения  $f_i(\theta_1) = 0$ . Придавая значения  $\theta_1^{(ij)} = \frac{\pi}{180} j, (j = \overline{0, 180})$ , получаем детерминант матрицы (13), который вычисляется методом Гаусса. При этом, решениями задачи являются те  $\theta_1^{(ik)}$ , при которых или  $f(\theta_1^{(ik)}) = 0$  или  $\theta_1^{(ij)} < \theta_1^{(ik)} < \theta_1^{(i+1)}$  и  $f(\theta_1^{(ij)}) \cdot f(\theta_1^{(i+1)}) < 0$ , т.е.  $\theta_1^{(ik)}$  находится в таком отрезке, на крайних точках которого функция принимает противоположные знаки. В этом случае применяется метод деления с точностью  $\varepsilon = 10^{-5}$ .

Из полученных значений  $\theta_1^{(ik)}$  выбирается то решение, при котором удовлетворяется условие

$$\theta_1 = \min_k \left| \pi - (\theta_1^{(ik)} + \theta_2) \right|.$$

В таблице приведены координаты ряда точек плоскости  $(\theta_1, \theta_2)$ , лежащих на границе девятимерной области нулевого напряженного состояния в пространстве параметров рассматриваемой задачи. Эти точки позволяют на плоскости  $(\theta_1, \theta_2)$  для фиксированных значений остальных параметров, построить предельные кривые, разделяющие область возможного изменения углов  $\theta_1 \geq 0, \theta_2 \geq 0, \theta_1 + \theta_2 \leq 2\pi$  на две области, в одной из которых (на стороне начала координат) углы соответствуют нулевому, а во второй - концентрационному состоянию при данных значениях остальных параметров. На рис. 2 построены эти предельные кривые при различных  $\mu_n$ .

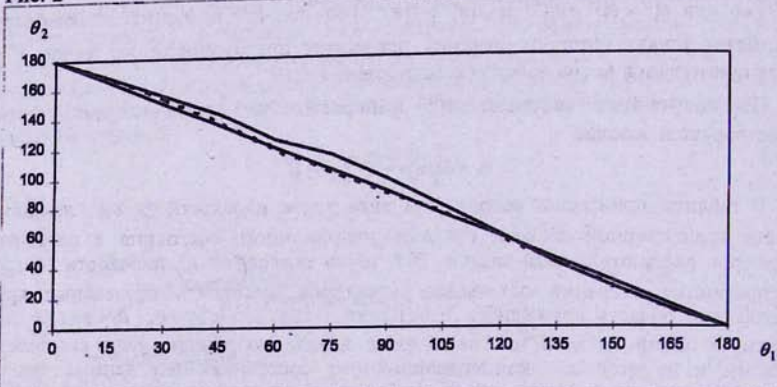
Для сравнения, на рис. 2 пунктиром проведена нейтральная линия, соответствующая решениям (при тех же параметрах) чисто упругой задачи, полученным в [4] (их можно получить, как отметили выше, из (10) при  $b_c^2 = 0, \alpha = 1$ ).

Сравнивая решение, полученное из (10) (случай  $\alpha = 1$ ) с результатами работы [4] (см. таблицу и рис. 2) замечаем, что присутствие магнитного поля и взаимодействие механических и магнитных полей могут существенно изменить размеры областей нулевого напряженного состояния и дают возможность регулировать поведение магнитоупругих величин вблизи края поверхности контакта составного тела.

Таблица.

$\frac{12}{\pi} \theta_2$	$\mu = 0.8, \nu_1 = 0.3, \nu_2 = 0.3$			$\mu = 1, \nu_1 = 0.4, \nu_2 = 0.2$		
	$b_c^2 = 0$	$b_c^2 = 10^{-3}$		$b_c^2 = 0$	$b_c^2 = 10^{-3}$	
		$\mu_{r1} = 1,$ $\mu_{r2} = 120$	$\mu_{r1} = 720,$ $\mu_{r2} = 24$		$\mu_{r1} = 10,$ $\mu_{r2} = 2000$	$\mu_{r1} = 8000,$ $\mu_{r2} = 200$
0	3.142	3.142	3.142	3.142	3.142	3.142
1	2.927	2.931	2.927	2.944	2.943	2.943
2	2.682	2.717	2.681	2.739	2.732	2.733
3	2.392	2.492	2.390	2.514	2.495	2.498
4	2.086	2.179	2.087	2.255	2.222	2.226
5	1.810	2.013	1.816	1.948	1.894	1.913
6	1.564	1.718	1.577	1.603	1.589	1.545
7	1.323	1.398	1.326	1.255	1.237	1.228
8	1.054	1.062	1.054	0.936	0.921	0.915
9	0.752	0.739	0.751	0.656	0.647	0.643
10	0.461	0.455	0.460	0.414	0.410	0.409
11	0.215	0.214	0.215	0.199	0.199	0.198
12	0.000	0.000	0.000	0.000	0.000	0.000

Рис. 2



## Литература

1. Pao Y.-H, Yeh C.-S, A linear theory for soft ferromagnetic elastic solid. -Int. J. Eng. Sci., 1973, 11, N 4, p. 414-436.
2. Багдасарян Г.Е., Асанян Д.Д., Асланян А.А., О концентрациях упругих напряжений и индуцированного магнитного поля возле трещины, обусловленных внешним магнитным полем. Изв. АН Арм. ССР, Механика, 1988, т. 41, N 2, с. 15-25

3. Амбарцумян С.А., Багдасарян Г.Е., Белубекян М.В., Магнитоупругость тонких пластин и оболочек, М., Наука, 1977, 273 с.
4. Чобанян К.С., Напряжения в составных упругих телах. Ереван: Изд-во АН Арм. ССР, 1987, 338 с.
5. Саркисян А.М., Хачикян А.С., Об одной антитривиальной задаче электроупругости для составного тела. Изв. НАНРА, Механика, 1995, 48, N 4, с. 49-56.
6. Черепанов Г.П., Механика хрупкого разрушения, М., Наука, 1974, 640 с.
7. Галлчян П.В., Определение связанных электромеханических полей в цилиндрическом секторе из пьезокристала. Изв. АН Арм. ССР, Механика, 1990, т. 43, N 5, с. 21-25.
8. Задоян М.А., Пространственные задачи теории пластичности, М., Наука, 1992, 712 с.
9. Миттра Р., Ли С.В., Аналитические методы теории волноводов. Пер. с англ., М., Мир, 1974, 327 с.